



Reporte Semanal de Clima Espacial

<https://www.sciesmex.unam.mx/blog/category/reporte-semanal-de-clima-espacial/>



Reporte semanal: Del 23 al 29 de agosto 2024



Servicio Clima Espacial

CONDICIONES DEL SOL

Regiones Activas (RA): 12

Hoyos coronales: No en latitudes medias.

Fulguraciones solares: 5 clase M1.

Eyecciones de masa coronal: 36 eyecciones de masa coronal (EMCs), 2 de ellas tipo halo.

Estallidos de radio solares: La REC-Mx 17 Tipo III, 6 Tipo VI, 1 Tipo II, 1 RSP.

CONDICIONES DEL MEDIO INTERPLANETARIO

Se registró el arribo de 2 EMCs.

CONDICIONES DE MAGNETÓSFERA

Índice K global máximo = 5, índice K regional máximo = 5 el 28 de agosto (tormenta G1).

Actividad geomagnética intensa global y local en los índices Dst y ΔH el 28 de agosto.

CONDICIONES DE LA IONOSFERA

Sin variaciones significativas en el contenido total de electrones (TEC).

CONDICIONES DE RAYOS CÓSMICOS SOBRE MÉXICO

No se detectaron variaciones significativas.

Reporte semanal: Pronóstico del 30 de agosto al 7 de sep. 2024



Servicio Clima Espacial

PRONÓSTICOS

Viento solar:

- Arribo de corrientes de viento solar lento de aproximadamente 300 km/s.

Fulguraciones solares:

- Es posible la ocurrencia de fulguraciones clase M.

Tormentas ionosféricas:

- No se esperan perturbaciones ionosféricas significativas en los próximos días.

Tormentas geomagnéticas:

- No se esperan perturbaciones geomagnéticas intensas en los próximos días.

Tormentas de radiación solar:

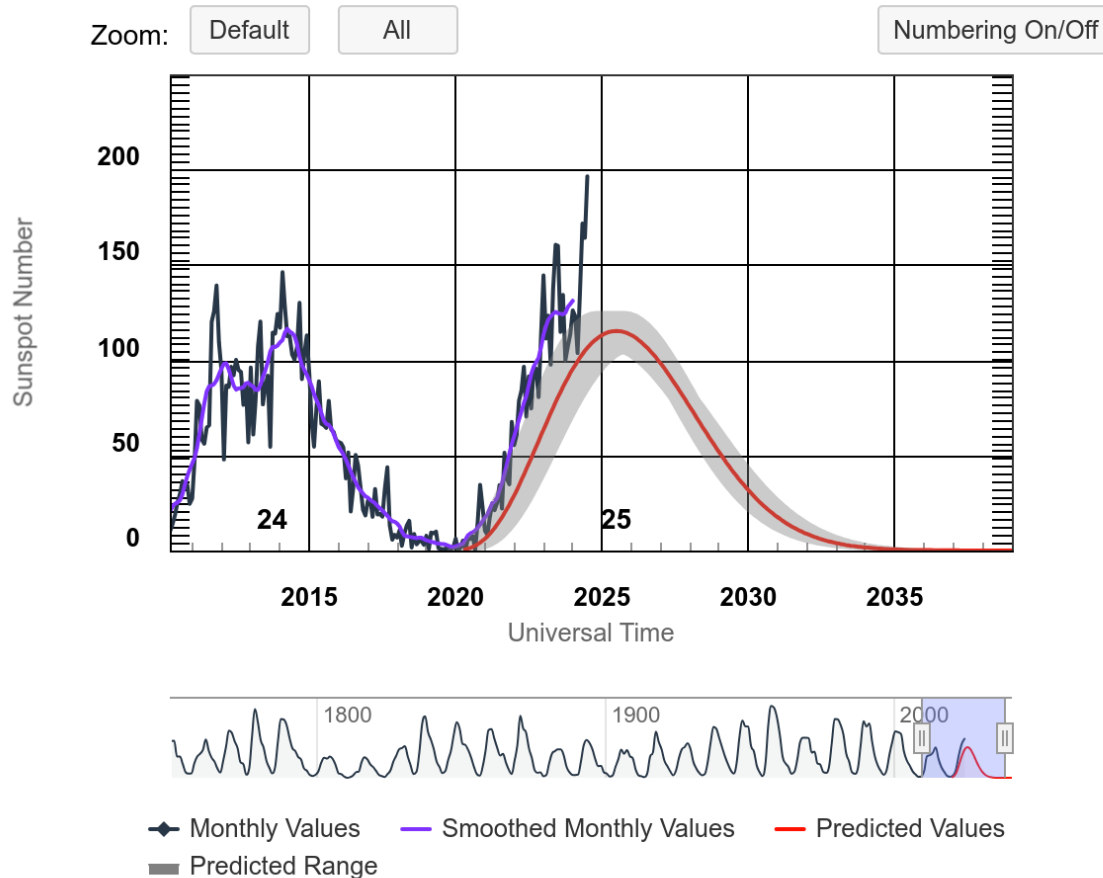
- No se esperan tormentas significativas en la próxima semana.

Eventos de partículas energéticas:

- No se espera eventos de partículas energéticas.

Ciclo de manchas solares y la actividad solar

ISES Solar Cycle Sunspot Number Progression



◆ Monthly Values ◆ Smoothed Monthly Values — Predicted Values
■ Predicted Range

Space Weather Prediction Center

La figura muestra el conteo del número de manchas solares desde 2010, cubriendo la mayor parte del Ciclo Solar 24 y la predicción de cómo se espera el ciclo 25.

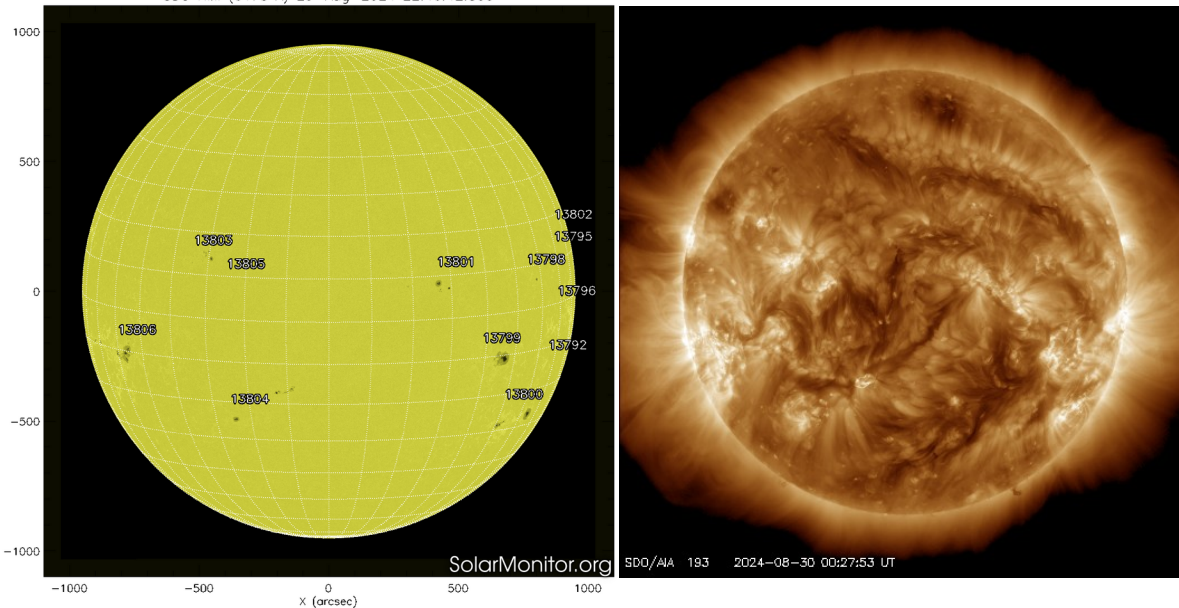
Entre más manchas solares presente el Sol, es mayor la probabilidad de que ocurra una tormenta solar.

Estamos en la fase ascendente del Ciclo Solar 25.

<https://www.swpc.noaa.gov/products/solar-cycle-progression>

Atmósfera solar y las capas solares

SDO HMI (6173 Å) 29-Aug-2024 22:46:42.800

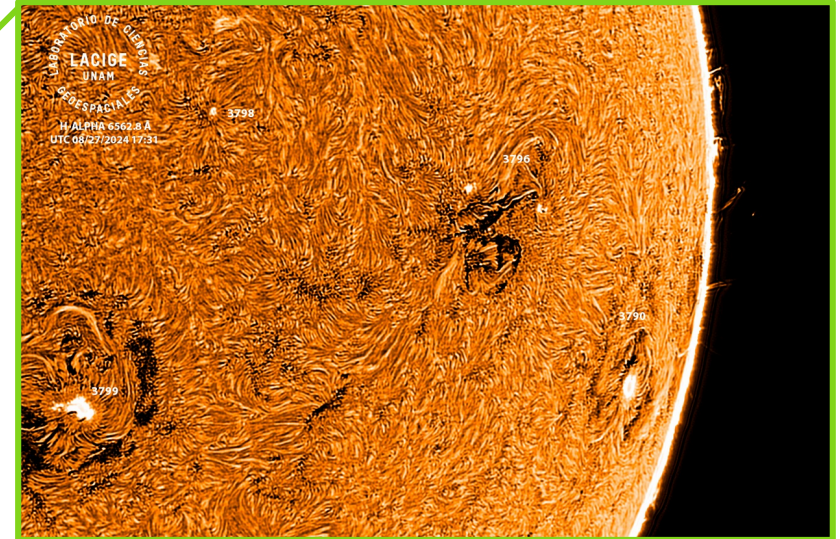
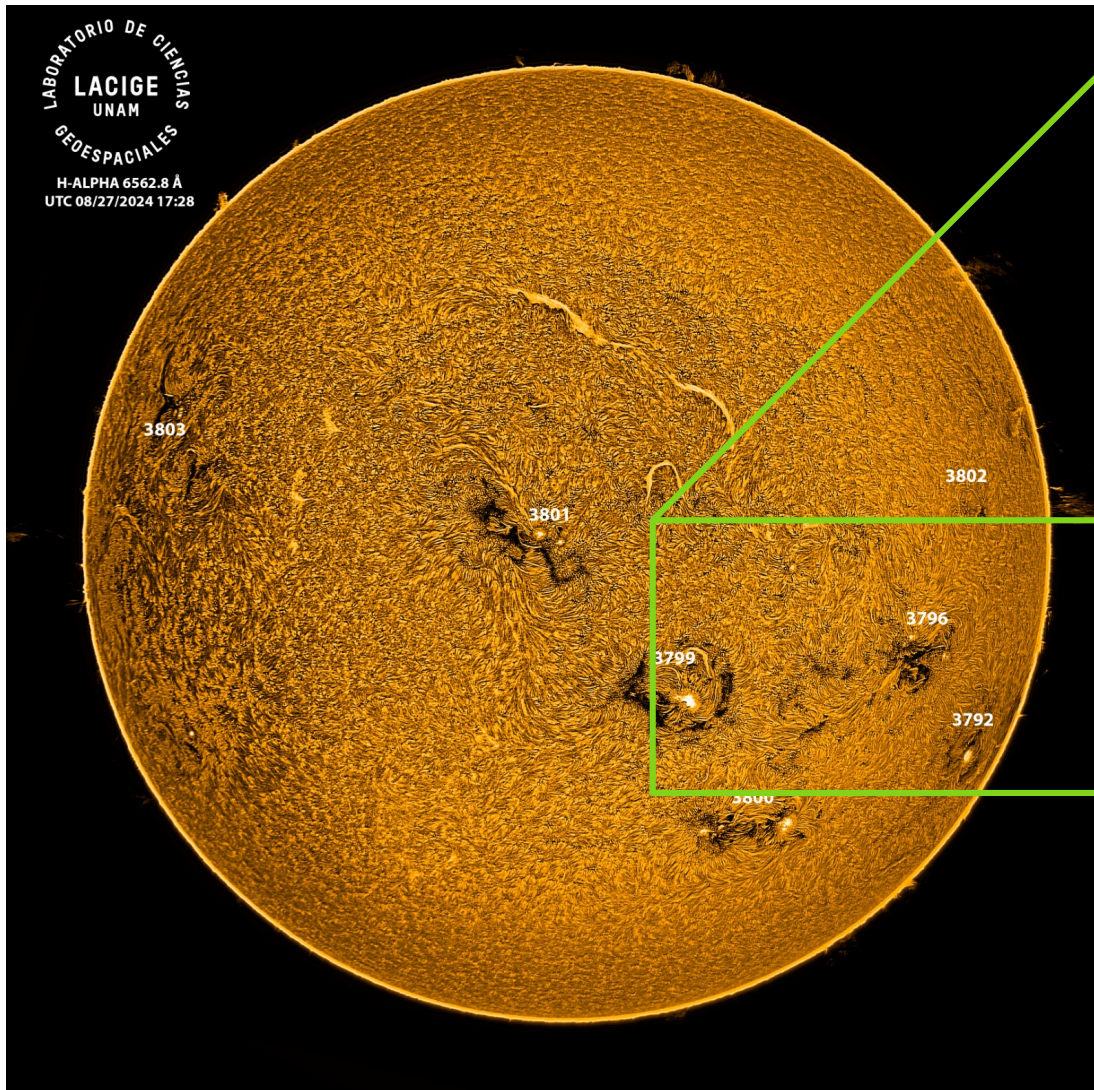


Se muestran 12 regiones de manchas solares en la fotosfera (3792, 3795, 3796, 3798, 3799, 3800, ..., 3806). En la imagen de la corona, se observan zonas brillantes que corresponden a las regiones activas y están asociadas con las manchas solares.

<https://solarmonitor.org/index.php>
<https://sdo.gsfc.nasa.gov/>

El Sol al 29 de agosto 2024 visto en dos longitudes de onda, se muestra la fotosfera y la corona.

A la izquierda: La fotosfera es la zona “superficial” del Sol, donde aparecen las manchas solares. Son regiones oscuras formadas por material más frío que sus alrededores y que contienen intensos campos magnéticos. Las manchas solares están relacionadas con la actividad solar. A la derecha: La corona solar en rayos X (193 Å). La emisión de Fe XII es la corona a 10^6 K y también hay emisión Fe XXIV (regiones brillantes) de 2×10^7 K. Los hoyos coronales (regiones oscuras) son regiones de campo magnético abierto. Éstas son fuente de las corrientes de viento solar rápido.

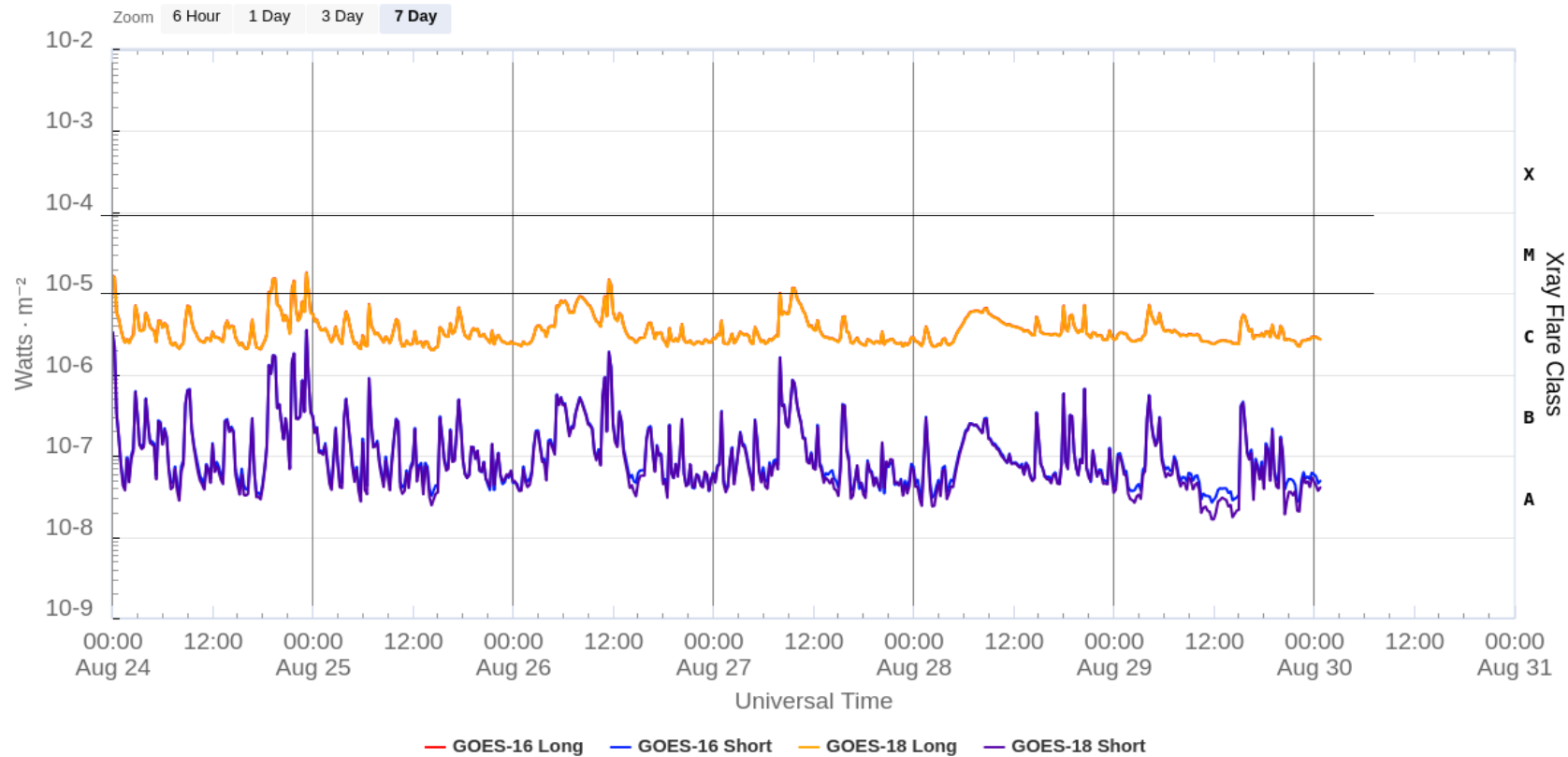


Imágenes de la cromosfera solar en H-Alpha (6562.8 Å) del Sol para el día 27/08/2024, 17:28 y 17:31 hrs UTC.

La imagen del disco completo (izquierda) muestra las regiones activas 3792, 3796, 3799, 3800, 3801, 3802, y 3803 observadas para esta fecha. Destacan varios filamentos en el disco solar y protuberancias en el limbo solar. Se muestra un acercamiento a las regiones activas 3799 y 3796 (imagen superior derecha).

Actividad solar: Fulguraciones solares

GOES X-Ray Flux (1-minute data)

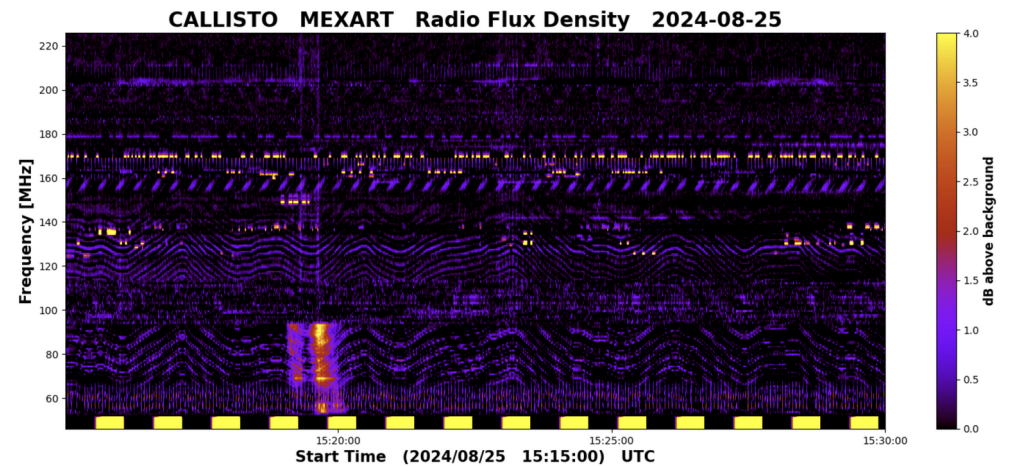
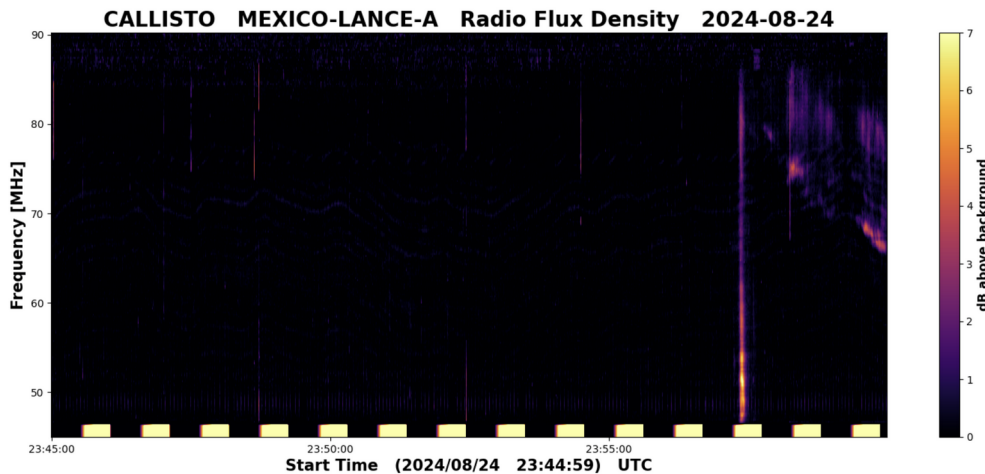
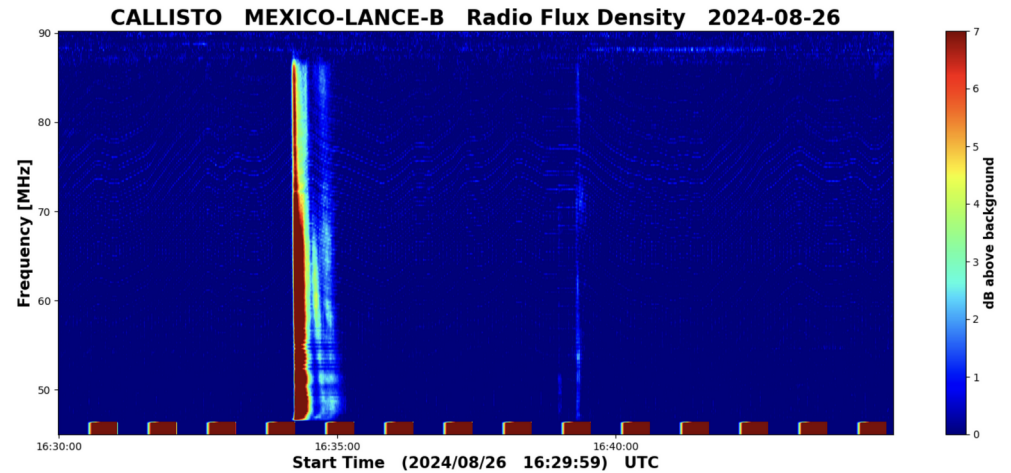
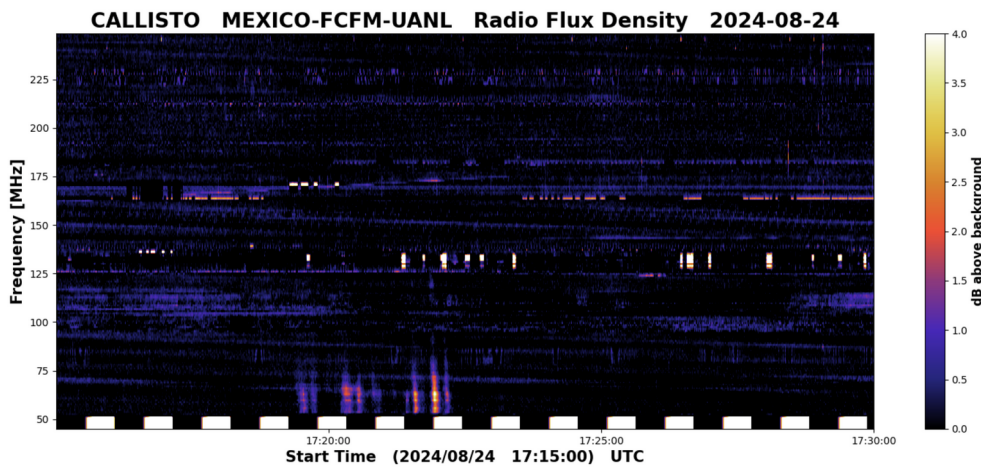


Flujo de rayos X solares detectado por satélites GOES de la NOAA. Las fulguraciones más intensas fueron clase M1 los días 24, 26 y 27.

<https://www.swpc.noaa.gov/products/goes-x-ray-flux>

Estallidos de radio solares: Observaciones de la REC-Mx

En esta semana la Red de Espectrómetros Callisto de México (REC-Mx) detectó 17 estallidos de radio Tipo III, 6 Tipo VI, 1 Tipo II, 1 RSP *–unknown radio sweep spectrum–*.



Actividad solar: Eyecciones de Masa Coronal

Se registraron 36 EMCs.
2 tipo halo (ancho > 90°).

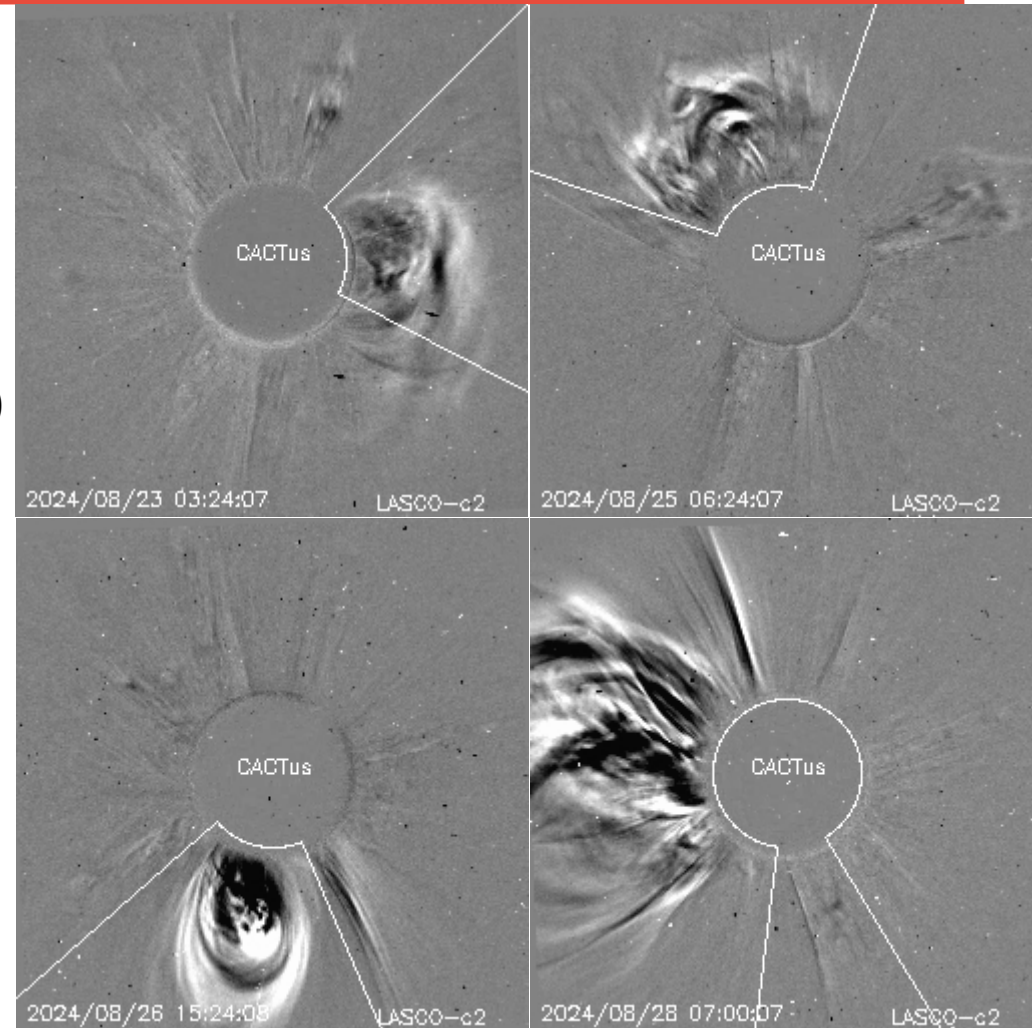
Mediciones de salida de EMC de mayor
dimensión o velocidad de esta semana:

Fecha, tiempo inicial, velocidad promedio (km/s)

2024/08/23	02:00	327
2024/08/25	05:00	312
2024/08/26	09:24	303
2024/08/28	05:36	1225

-Eyecciones observadas por SOHO/LASCO con
cálculos del sitio CACTUS.

Crédito de imágenes y valores estimados:
SOHO, the SOLAR & Heliospheric Observatory
<https://wwwbis.sidc.be/cactus/>



Medio interplanetario: El viento solar cercano a la Tierra

Modelo numérico WSA-ENLIL.

Al día de hoy 29 de agosto de 2024, el modelo pronostica el arribo de corrientes de viento solar promedio con velocidades de 300 km/s. No pronostica el arribo de alguna EMC para los próximos 5 días.

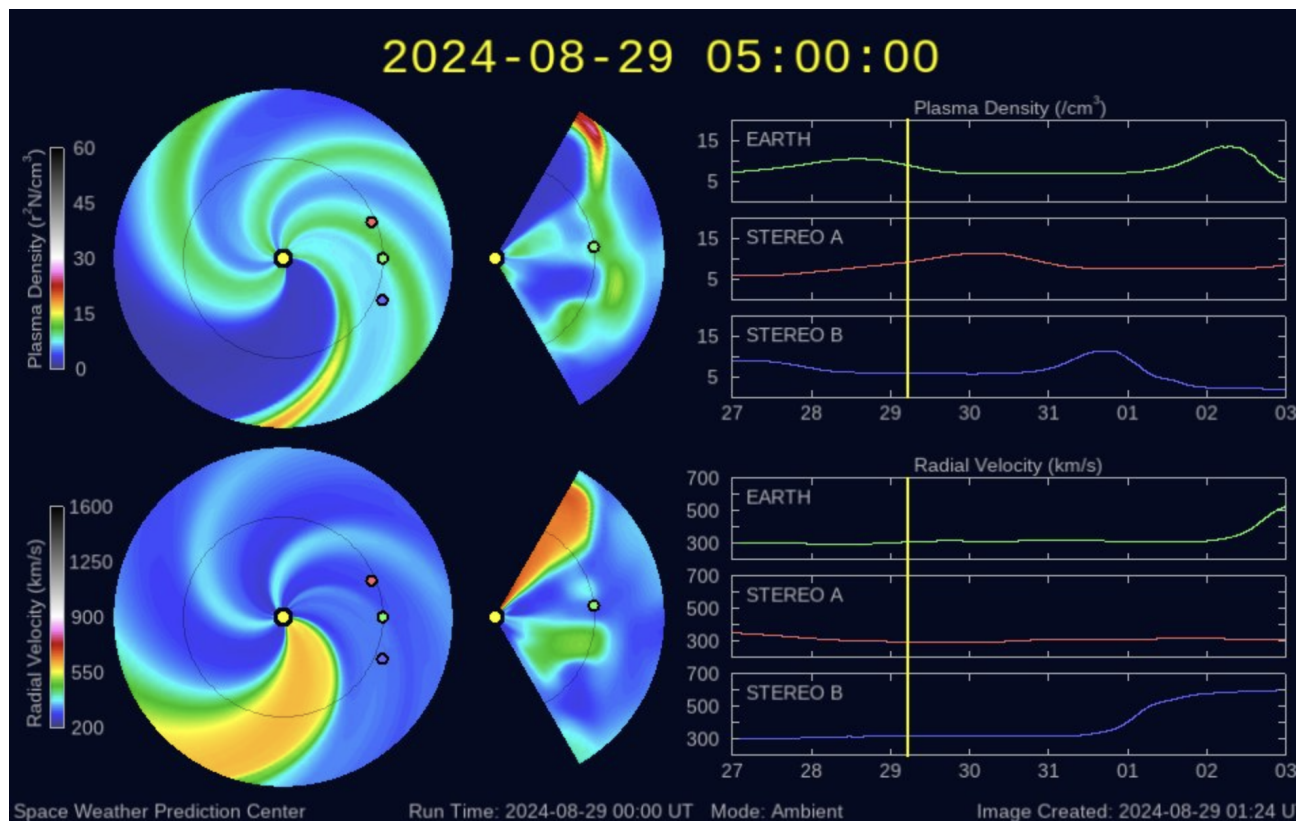


Imagen: <http://www.swpc.noaa.gov/products/wsa-enlil-solar-wind-prediction>

Medio interplanetario: Región de interacción de viento solar

Esta semana se registró un evento complejo formado por dos eyecciones de masa coronal (EMCs) (ver región sombreada en violeta y amarillo en imagen 2). La región fuente de cada eyección es incierta ya que el Sol ha esta muy activo (ver imagen 1). La EMC 2 generó actividad geomagnética: $K_p=6$ y $Dst= -92$ nT..

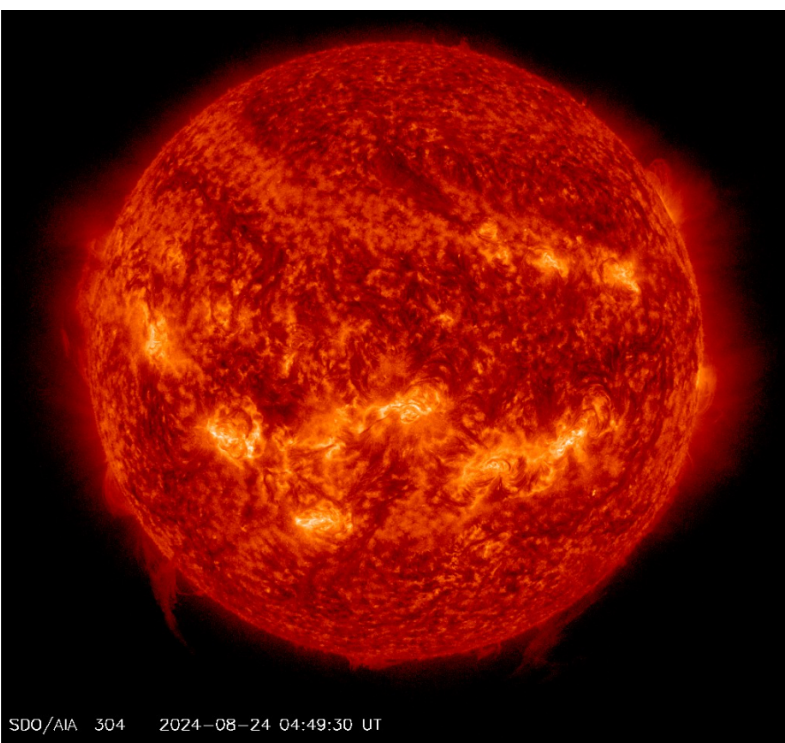


Imagen 1: <https://www.sidc.be/cactus/catalog.php>

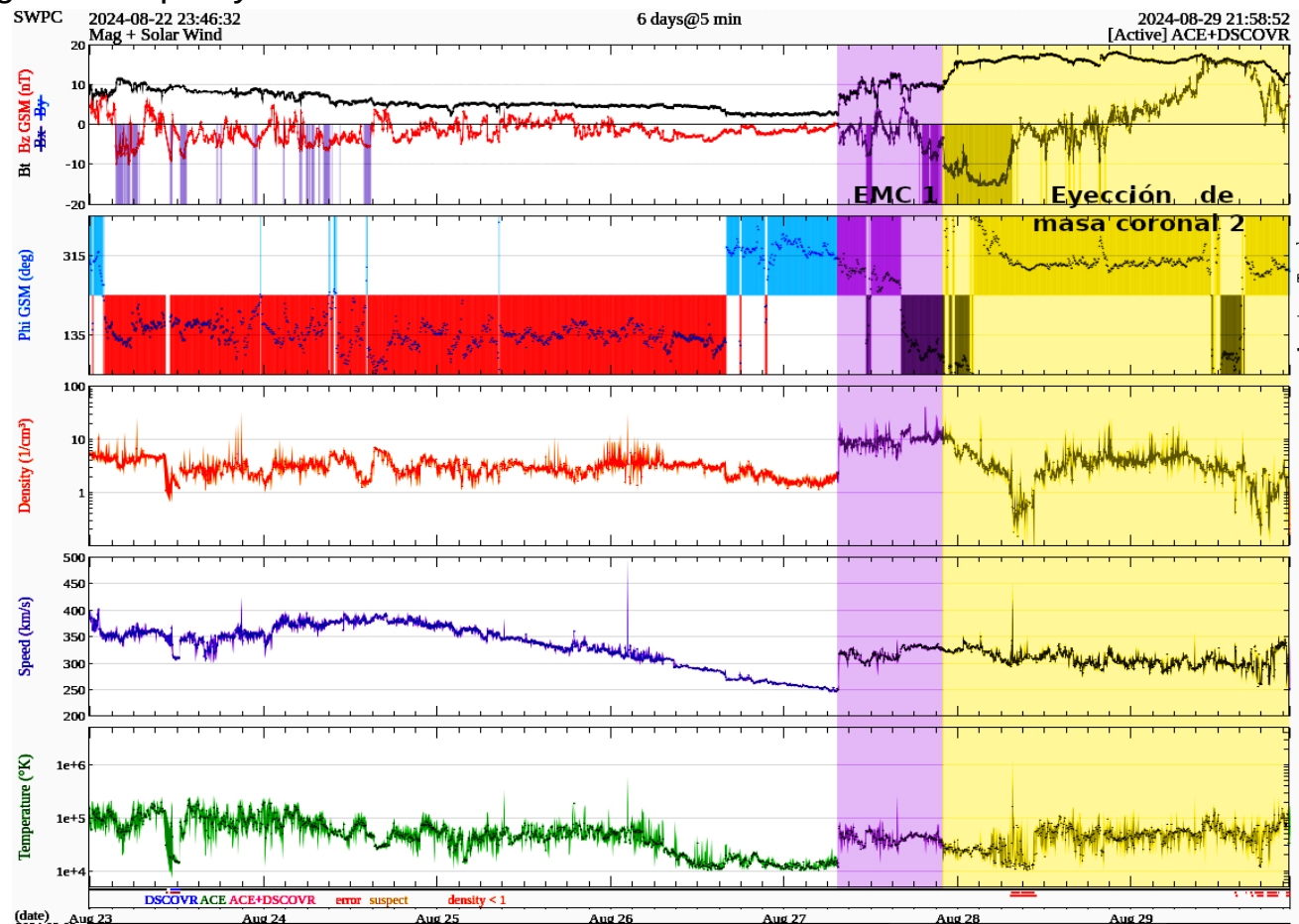


Imagen 2: <http://www.swpc.noaa.gov/products/real-time-solar-wind>

Medio interplanetario

Centelleo interplanetario

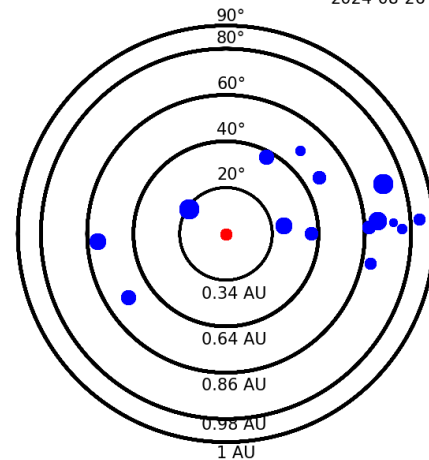
Magnitud de velocidades de viento solar registradas por MEXART.

Se muestra con círculos azules la posición aparente de fuentes de centelleo vistas desde la Tierra, su dimensión representa la rapidez del viento solar. Al centro el Sol (círculo rojo). Los círculos concéntricos marcan la elongación o distancia heliocéntrica en grados o unidades astronómicas.

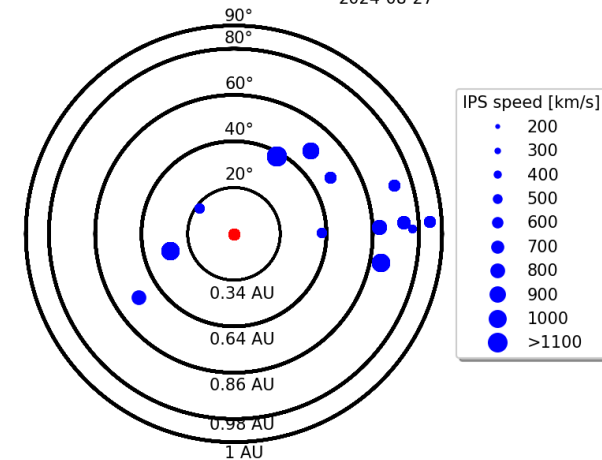
Mapas correspondientes a los últimos días en que se registraron observaciones. Velocidades en su mayoría van de 300 a 800 km/s.

Los velocidad calculada hasta ahora es experimental.

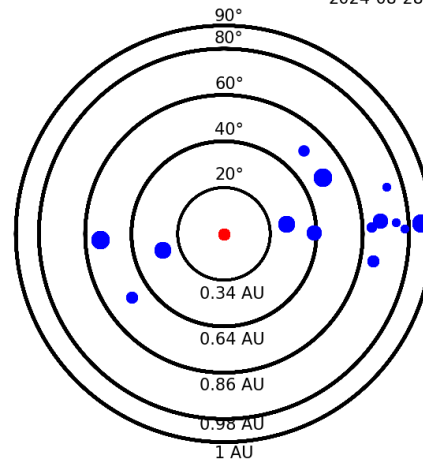
Apparent position of sources in the sky
2024-08-26



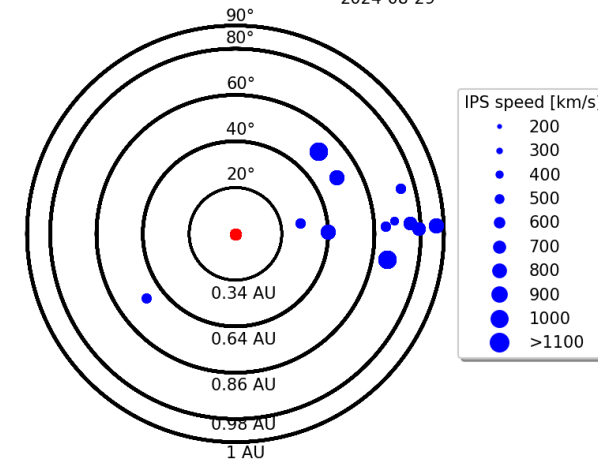
Apparent position of sources in the sky
2024-08-27



Apparent position of sources in the sky
2024-08-28



Apparent position of sources in the sky
2024-08-29

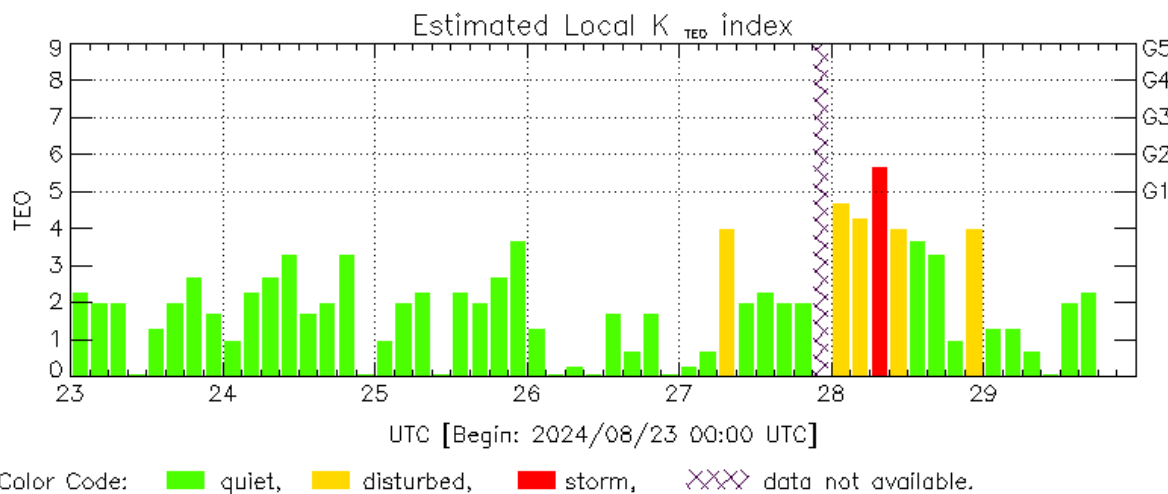
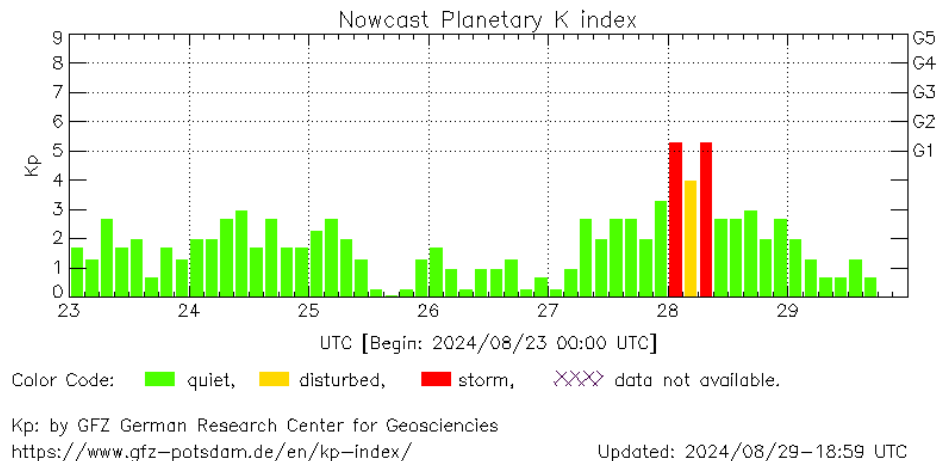


Actividad geomagnética regional y planetaria: índices Kmex y Kp

Se registró una tormenta geomagnética G1 (K=5) en los índices Kp y Kmex el 28 de agosto. La tormenta geomagnética fue provocada por una corriente de viento solar con componente magnética Bz norte intermitente que llegó al entorno terrestre el 28 de agosto.

NOTA: El cálculo del índice Kmex se realiza usando datos del observatorio de Teoloyucan, Edomex. Los datos son experimentales y no se deben de tomar como definitivos.

Datps: www.gfz-potsdam.de/en/kp-index/



TEO: Teoloyucan Magnetic Observatory (19.75N,99.19W)
REGMEX/LANCE & Magnetic Servie/IGF, UNAM

Updated: 2024/08/29-18:59 UTC

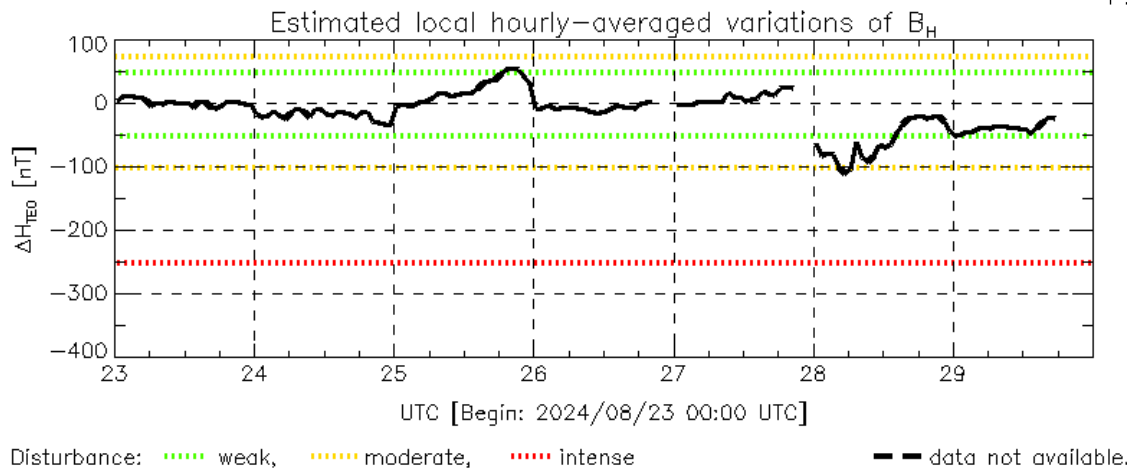
El índice K indica la intensidad de las variaciones del campo magnético terrestre en intervalos de 3 horas.

El índice Kp lo expresa a escala planetaria, mientras que el Kmex lo hace para el territorio mexicano.

Actividad geomagnética regional y planetaria: índices ΔH y Dst

Se registró actividad geomagnética intensa en los índices Dst y ΔH el 28 de agosto. La actividad geomagnética fue provocada por una corriente de viento solar con componente geomagnética Bz norte intermitente que llegaron al entorno terrestre el 28 de agosto.

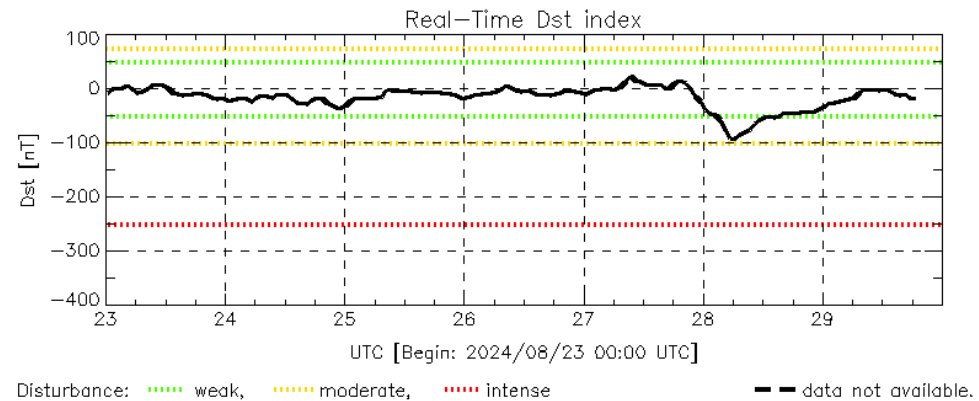
NOTA: El cálculo del índice ΔH se realiza usando datos del observatorio de Teoloyucan, Edomex. Los datos son experimentales y no se deben de tomar como definitivos.



TED: Teoloyucan Magnetic Observatory (19.75N,99.19W)
REGMEX/LANCE & Magnetic Servie/IGF, UNAM

Updated: 2024/08/29-18:59 UTC

Datos: wdc.kugi.kyoto-u.ac.jp/dst_realtime/



Dst: by World Data Center for Geomagnetism, Kyoto
http://wdc.kugi.kyoto-u.ac.jp/dst_realtime/

Updated: 2024/08/29-18:59 UTC

Los índices Dst y ΔH miden las variaciones temporales de la componente horizontal del campo geomagnético, el primero a escala planetaria y el segundo para México.

Estas variaciones, en general, se deben al ingreso de partículas cargadas, provenientes del espacio exterior, al ambiente espacial terrestre.

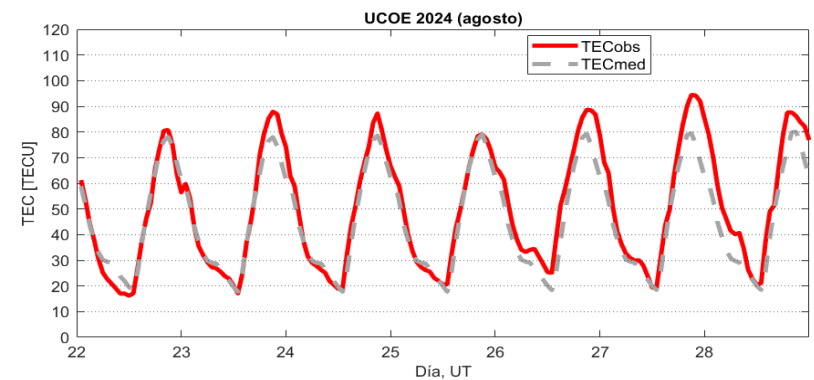
Ionósfera sobre México: TEC en el centro del país

El contenido total de electrones (TEC) es un parámetro que sirve para caracterizar el estado de la ionosfera de la Tierra.

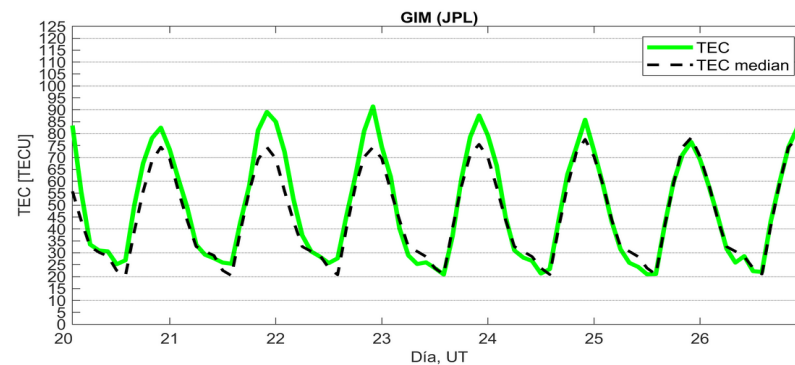
Series temporales de los valores de TEC (TECobs) con referencia a su valor mediano (TECmed) obtenidas de:

(1) Estación local UCOE, receptor ubicado en las instalaciones del MEXART

El cálculo se realiza en base del software "TayAbsTEC" del Instituto de Física Solar-Terrestre, SB RAS. Referencia: Yasyukevich et al., 2015, doi: 10.1134/S001679321506016X.

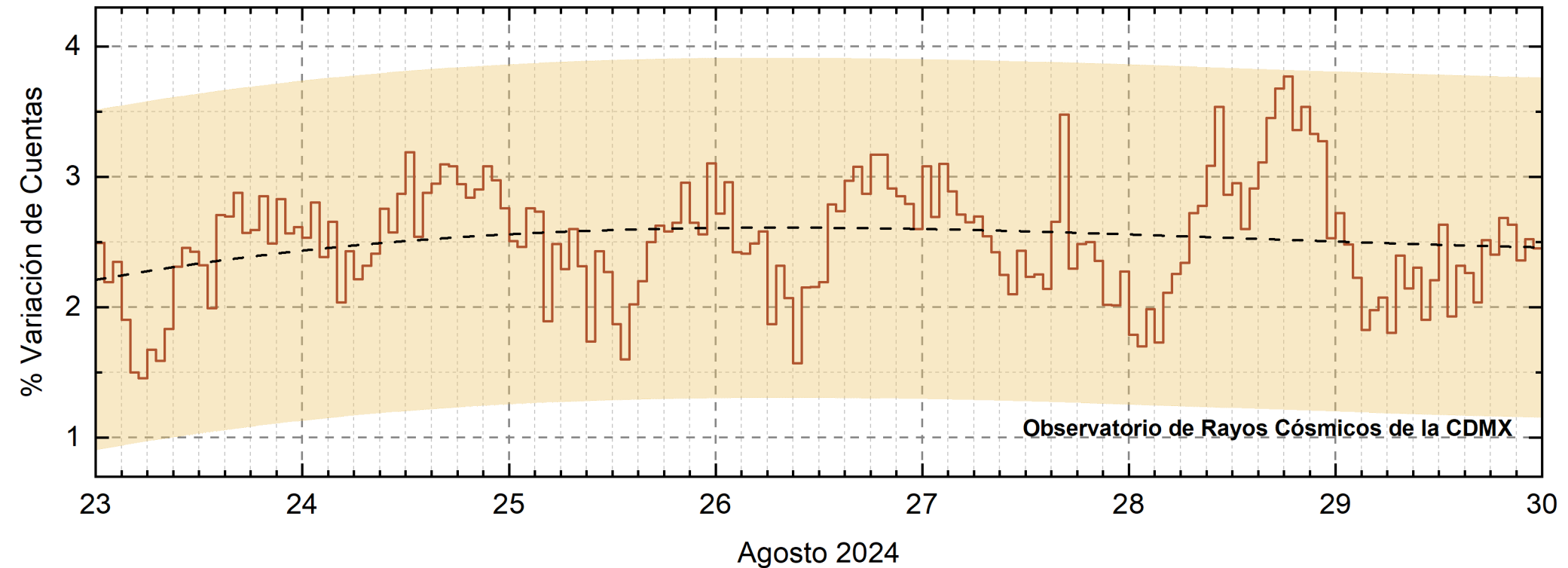


(2) Mapas ionosféricos globales (GIM JPL)



No se observaron variaciones significativas de TEC durante la semana.

Rayos Cósmicos:



<http://www.cosmicrays.unam.mx/>

Datos registrados por el Observatorio de Rayos Cósmicos de la Ciudad de México. La curva discontinua negra representa el promedio de los datos registrados, el área coloreada en amarillo representa la significancia de los datos ($\pm 3\sigma$). Cuando se registran variaciones que salen del área, es probable que éstas sean atribuidas a efectos de emisiones solares en el flujo de rayos cósmicos. Del 23 al 30 de agosto de 2024, no se detectaron variaciones significativas ($>3\sigma$) en las cuentas de rayos cósmicos.

UNAM/LANCE/SCIEMEX

Dr. J. Américo González Esparza

Dr. Pedro Corona Romero

Dra. Maria Sergeeva

Dr. Julio C. Mejía Ambriz

Dr. Luis Xavier González Méndez

Ing. Ernesto Andrade Mascote

M.C. Pablo Villanueva Hernández

Dr. Ernesto Aguilar-Rodríguez

M.C. Carlos Isaac Castellanos Velazco

Dra. Verónica Ontiveros

Dra. Tania Oyuki Chang Martínez

Dr. Víctor José Gatica Acevedo

Dra. Angela Melgarejo Morales

Isaac David Orrala Legorreta

NAM ENES-Morelia

Dr. Mario Rodríguez Martínez

Dr. José Juan González Avilés

M.C. Raúl Gutiérrez Zalapa

Ing. Ariana Varela Mendez

Mateo Peralta Mondragón

Jaquelin Mejía Orozco

Grace Diane Jiménez González

UNAM/PCT

Dra. Elsa Sánchez García

Dr. Carlos Arturo Pérez Alanís

M.C. Isaac Castellanos Velasco

UANL/LANCE

Dr. Eduardo Pérez Tijerina

Dra. Esmeralda Romero Hernández

Dr. José Enrique Pérez León

Ing. Iván Antonio Peralta Mendoza

Roel Aramis Olivera López

Fís. Rogelio Aguirre Gutiérrez

M.C. Adolfo Garza Salazar

UNAM/IGF/RAYOS CÓSMICOS

Dr. José Francisco Valdés Galicia

Fis. Alejandro Hurtado Pizano

Ing. Octavio Musalem Clemente

SERVICIO MAGNÉTICO

M.C. Esteban Hernández Quintero

M.C. Gerardo Cifuentes Nava

Dra. Ana Caccavari Garza

GPCEET/SAET-IPN

Ing. Julio César Villagrán Orihuela

Miguel Daniel González Arias

Carlos Escamilla León

Pablo Romero Minchaca

Alfonso Iván Verduzco Torres

Claudia López Martínez

Ana María Ramírez Reyes

Emiliano Campos Castañeda

Elaboración: Julio César Mejía Ambriz

Revisión: Pedro Corona Romero

Agradecimientos

El Laboratorio Nacional de Clima Espacial (LANCE) es parcialmente financiado por: el programa Cátedras CONACYT Proyecto 1045 y el Fondo Sectorial AEM-CONACYT proyecto 2014-01-247722. Agradecemos al proyecto Conacyt – Repositorio Institucional de Clima Espacial 268273. Agradecemos al proyecto AEM-2018-01-A3-S-63804 del Fondo Sectorial CONACYT-AEM. Agradecemos a todos los responsables y colaboradores de instrumentos del LANCE y a las redes de estaciones GPS del Servicio Sismológico Nacional y TlalocNET por facilitar sus datos. Agradecemos a Gerardo Cifuentes, Esteban Hernández y Ana Caccavari por los datos del Observatorio Magnético de Teoloyucan. De igual forma, agradecemos los servicios de IGS (International GNSS Service) por permitirnos usar los datos IONEX disponibles en: <https://cddis.nasa.gov/archive/gnss/products/ionex>. Los valores de TEC fueron obtenidos a partir de observaciones de las redes GPS del Servicio Sismológico Nacional (SSN), SSN-TLALOCNet y TLALOCNet del Servicio de Geodesia Satelital (SGS). Agradecemos al personal del SSN y del SGS por el mantenimiento de estaciones, la adquisición de datos y el soporte de IT de estas redes. Las operaciones de la red TLALOCNet y SSN-TLALOCNet GPS han sido apoyadas por The National Science Foundation bajo el proyecto EAR-1338091 a UNAVCO Inc., los proyectos CONACyT 253760 y 256012 y los proyectos UNAM-PAPIIT IN109315-3 y IN104818-3 de E. Cabral-Cano y el proyecto UNAM-PAPIIT IN111509 de R. Pérez. De igual forma, agradecemos a los proyectos de infraestructura del CONACyT: 253691 y del PAPIIT-DGAPA: IA107116 para el fortalecimiento de equipos como la estación fija de GPS, que forman parte del LACIGE-UNAM, de la ENES unidad Morelia a cargo de M. Rodríguez-Martínez, El cálculo de TEC se realiza: 1) utilizando el software US-TEC que es un producto de operación del Space Weather Prediction Center (SWPC), desarrollado a través de una colaboración entre National Geodetic Survey, National Oceanic and Atmospheric Administration (NOAA) y el Cooperative Institute for Research in Environmental Sciences of the University of Boulder, Colorado, 2) con base en el software TayAbsTEC del Instituto de Física Solar-Terrestre, sección Siberiana de la Academia de Ciencias Rusa. Parte del procesamiento de datos se lleva a cabo dentro del centro de Supercómputo de Clima Espacial (CESCOM) del LANCE. Así mismo agradecemos al Space Weather Forecasting Center for Astrophysics & Space Research de la University of California in San Diego y al Korean Space Weather Center por los datos de pronóstico para los modelos WSA-ENLIL y los mapas tomográficos por IPS. Agradecemos a la red e-callisto por los datos proporcionados de espectros electromagnéticos dinámicos de la red internacional de registro de eventos de radio solares.

Datos

Imágenes de coronógrafo, flujo de rayos X y modelo WSA-ENLIL:

<http://www.swpc.noaa.gov/products>

<http://iswa.ccmc.gsfc.nasa.gov/IswaSystemWebApp/>

Imágenes de coronógrafo:

<http://sohowww.nascom.nasa.gov/data/>

Imágenes del disco solar y de la fulguración:

<http://www.solarmonitor.org/>

Detección y caracterización de EMCs:

<http://www.sidc.oma.be/cactus/out/latestCMEs.html>

<http://spaceweather.gmu.edu/seeds/>

ISES:

<http://www.spaceweather.org/>

International Network of Solar Radio Spectrometers (e-callisto):

<http://www.e-callisto.org/>

German Research Center For Geosciences Potsdam:

<http://www.gfz-potsdam.de/en/sektion/erdmagnetfeld/daten-dienst/e/kp-index/>

Data Analysis Center for Geomagnetism and Space Magnetism, Kyoto University:

<http://wdc.kugi.kyoto-u.ac.jp/index.html>

UNAVCO:

<http://www.unavco.org>

SSN:

<http://www.sismologico.unam.mx/>

SOHO Spacecraft NASA:

<http://sohowww.nascom.nasa.gov/>

SDO Spacecraft NASA:

<http://sdo.gsfc.nasa.gov/>

Space Weather Prediction Center NOAA:

<http://www.swpc.noaa.gov>

GOES Spacecraft NOAA:

<http://www.ngdc.noaa.gov/stp/satellite/goes/index.html>

ACE Spacecraft NOAA

<http://www.srl.caltech.edu/ACE/ASC/index.html>